

УДК 548.0.529

В. Г. БАРЫШЕВСКИЙ, А. М. ЗАЙЦЕВА
**УПРУГОЕ РАССЕЯНИЕ ЖЕСТКИХ
 γ-КВАНТОВ В КРИСТАЛЛЕ**

В последние годы выяснилось, что при прохождении через кристаллы быстрых нейтронов и γ-квантов возникают ориентационные явления, во многом аналогичные каналированию заряженных частиц [1—5].

В настоящей работе рассматривается ориентационная зависимость полного сечения упругого рассеяния жестких γ-квантов в кристалле германия. Показано, что ориентационные эффекты в случае тонких и толстых кристаллов оказываются существенно различными.

Для тонких кристаллов в первом порядке теории возмущений дифференциальное сечение упругого когерентного рассеяния неполяризованных γ-квантов имеет вид [6]:

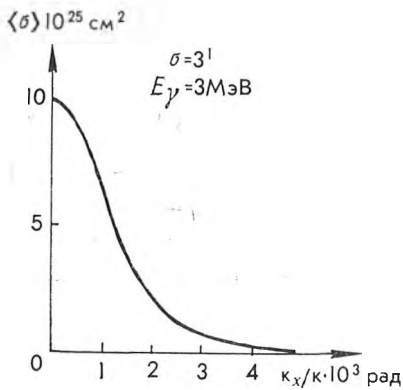
$$\frac{d\sigma}{d\Omega} = \frac{1}{2} \left(\frac{e^2}{m_e c^2} \right)^2 (1 + \cos \theta) \sum_{\bar{\tau}} |F(\bar{\tau})|^2 \left| \int e^{-i(\bar{q}-2\pi\bar{\tau})\bar{r}} dV \right|^2. \quad (1)$$

Здесь $F(\bar{\tau})$ — атомный формфактор; θ — угол рассеяния; $\bar{q} = \bar{k}' - \bar{k}$ — переданный импульс; \bar{k} и \bar{k}' — импульсы падающего и рассеянного квантов соответственно; $\bar{\tau}$ — вектор обратной решетки; интегрирование проводится по объему кристалла.

Из (1) можно получить полное сечение, которое после усреднения по нормальной угловой расходимости пучка, падающего на кристалл Ge под малым углом к оси z (кристаллографическая ось $(1, 1, 0)$), окончательно примет следующий вид:

$$\begin{aligned} \langle \sigma(\bar{k}) \rangle &= \frac{(2\pi)^2}{V 2\pi D a^2 k^2} \left(\frac{e^2}{m_e c^2} \right)^2 \sum_{n_1 \neq 0} \sum_{n_3} |F(n_1, n_3)|^2 \times \\ &\times |S(n_1, n_3)|^2 \exp \left[-\frac{4\pi^2}{a^2} u^2 (2n_1^2 + n_3^2) - \frac{\pi^2}{2a^2 k^2 D} (2n_1^2 + n_3^2) - \right. \\ &\left. - \frac{V\sqrt{2}\pi}{akD} n_1 \langle x \rangle^2 - \frac{n_1^2 \langle x \rangle^2}{D(2n_1^2 + n_3^2)} \right] \frac{1}{V\sqrt{2n_1^2 + n_3^2}}, \end{aligned} \quad (2)$$

где $|S(n_1, n_3)|^2$ — структурный фактор ячейки; u^2 — средний квадрат амплитуды тепловых колебаний ядер; d — период решетки Ge; D — угловая дисперсия пучка; $\langle x \rangle \equiv k_v/k$ — угол влета; n_1, n_3 — индексы Миллера. При получении (2) учитывались условия: $k'_\perp \ll k$; $k_\perp \ll k$; $q_z = 0$; падение пучка рассматривалось в плоскости xz ($\langle y \rangle = 0$). Опущенное в (2) слагаемое с $n_1 = n_2 = 0$ определяет вклад в полное сечение Фурье-компоненты диэлектрической проницаемости, соответствующей $\bar{\tau} = 0$.



Зависимость сечения рассеяния γ -квантов от угла влета

В [4] приводится экспериментальная ориентационная зависимость коэффициента пропускания γ -квантов ($E_\gamma \geq 1,5$ МэВ) и нейтронов ($E_n = 3$ МэВ) через толстый кристалл Ge ($L = 5,6$ см). Анализ эффектов прохождения в этом случае можно провести в рамках квазиклассического приближения, когда выполняется условие $k_\perp d \gg 1$. Но это означает, что взаимодействие частиц с кристаллом будет определяться уже не средней по кристаллу плотностью (электронной или ядерной), а ее локальным значением $\rho(\vec{r})$. Соответственно $\rho(\vec{r})$ можно ввести и локальный показатель преломления:

$$n(\vec{r}) = 1 + \frac{2\pi}{k^2} \rho(\vec{r}) f(0), \quad (3)$$

где $f(0)$ — амплитуда рассеяния вперед. С другой стороны, показатель преломления для частицы с энергией E связан со средним потенциалом взаимодействия в среде U соотношением

$$n = \sqrt{1 - \frac{U}{E}}. \quad (4)$$

Из сопоставления (3) и (4) следует, что тип взаимодействия (притяжение или отталкивание) определяется знаком $f(0)$. Так как для γ -квантов в рассматриваемом энергетическом интервале основным процессом взаимодействия является упругое рассеяние с $f(0) < 0$, для них $U > 0$. Следовательно, их ориентационное поведение должно быть аналогичным поведению позитронов.

Для нейтронов в указанной области энергий $f(0) > 0$, т. е. $U < 0$, как и для электронов.

Локальный показатель преломления (3) приводит к существованию критического угла отражения φ от локальной неоднородности внутри кристалла:

$$\varphi = \sqrt{2(1 - n(\vec{r}))} = \frac{1}{k} \sqrt{2\pi \rho(\vec{r}) f(0)}. \quad (5)$$

В результате возникает зависимость коэффициента пропускания от угла влета пучка относительно кристаллографической оси. Так, для пучка γ -квантов с угловым разбросом порядка φ при нулевом угле влета должен наблюдаться максимум для коэффициента пропускания, так как кванты, попадающие на атомную трубку по кристаллографической оси под углом меньшим критического, будут отражаться и распространяться в канале с пониженной электронной плотностью. Для нейтронов ориентационная картина должна быть противоположной, т. е. с минимумом в коэффициенте пропускания при нулевом угле влета.

Изложенные соображения находятся в полном соответствии с ориентационной картиной прохождения γ -квантов и нейтронов, полученной в [4]. Легко показать, что наблюдаемое в (4) эффективное сечение взаи-

Численный расчет (2) на ЭВМ даёт резкую зависимость сечения рассеяния от углов влета. Из рисунка видно, что когерентное усиление рассеяния максимально для нулевых углов влета и оказывается существенным до углов влета порядка 20 мин (при угловой расходимости пучка $\sigma = 3'$).

Подчеркнем, что эти результаты получены в борновском приближении, т. е. справедливы лишь для таких толщин кристалла, пока изменение фазы падающей волны мало. Оценка показывает, что использованное приближение оказывается оправданным вплоть до $L \approx 0,1$ см.

модействия мэвных γ -квантов σ_3 оказывается связанным со средним по кристаллу полным сечением ослабления на атом σ простой зависимостью:

$$\sigma_3 = \sigma \left(\alpha_1 \frac{\rho_k}{\rho} + \alpha_2 \right). \quad (6)$$

Здесь α_1 и α_2 — вероятность падения γ -квантов на кристалл под углом меньшим и большим критического угла трубки соответственно; ρ_k — локальная плотность электронов в канале, которая, как показывает приближенное рассмотрение, формируется примерно из двух валентных электронов каждого атома германия, т. е. $\rho_k = \rho/16$. Таким образом, множитель при σ в (4) всегда < 1 и, следовательно, $\sigma_3 < \sigma$, что и наблюдается экспериментально.

Для расчета α_1 и α_2 надо знать критический угол, т. е. локальную плотность электронов в трубке $\rho_{тр}$, которую грубо можно оценить по соотношению

$$\rho_{тр} = Z/\pi R^2 \langle d \rangle, \quad (7)$$

где R — радиус экранировки атомов; $\langle d \rangle$ — среднее расстояние между атомами в трубке; Z — эффективный заряд атома в трубке (~ 30).

Расчет по (5) и (7) приводит к следующим оценкам: $\rho_{тр} = 10^{26}$ см $^{-3}$, $\varphi = 0,4'$ ($R = 1,5 \cdot 10^{-9}$ см, $\langle d \rangle = 5,67 \cdot 10^{-8} / \sqrt{2}$ см, $k_\gamma = 1,5 \cdot 10^{11}$ см $^{-1}$).

В предположении нормального распределения поперечных импульсов в пучке с угловой расходимостью $1,5'$ $\alpha_1 = 0,05$. Это по (6) приведет к уменьшению сечения от $\sigma = 4,2 \cdot 10^{-24}$ см 2 до величины $\sigma_3 = 4,0 \cdot 10^{-24}$ см 2 , т. е. примерно на 5%, что несколько больше экспериментального уменьшения сечения.

Что касается прохождения нейтронов, то для них критический угол трубки оказывается порядка $0,01'$, и при той же расходимости пучка это приводит к очень малой доле каналированных частиц ($\sim 3 \cdot 10^{-5}$). Легко убедиться, что в данном случае σ_3 можно представить в виде

$$\sigma_3 = \sigma \left(\alpha_1 \frac{\rho_{тр}}{\rho} + \alpha_2 \right),$$

откуда следует, что $\sigma_3 > \sigma$ в соответствии с [4].

Швингеровское взаимодействие нейтронов увеличивает φ в несколько раз, но эффект каналирования остается все равно слабым.

В заключение следует подчеркнуть, что в экспериментах с угловой расходимостью пучков порядка критических углов каналирование нейтронов и γ -квантов должно проявиться в полной мере.

Список литературы

1. Барышевский В. Г. // Матер. 14-й Зимней школы ЛИЯФ. Л., 1978. С. 159.
2. Барышевский В. Г. Каналирование, излучение и реакции в кристаллах при высоких энергиях. Минск, 1982.
3. Барышевский В. Г., Зайцева А. М. // Изв. вузов СССР: Физика. 1985. № 3. С. 103.
4. Дюмин А. Н. и др. Препринт ЛИЯФ. № 1337. Л., 1987.
5. Барышевский В. Г., Зайцева А. М. // Изв. вузов СССР: Физика. 1987. № 9. С. 120.
6. Ландау Л. Д., Лившиц Е. М. Электродинамика сплошных сред. М., 1969.

Поступила в редакцию 10.11.87.